

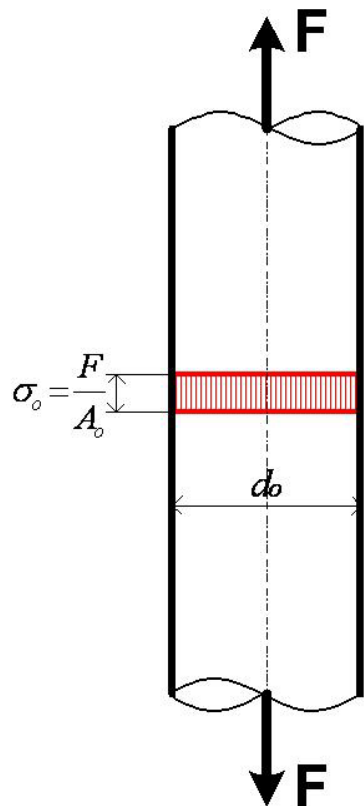
2. LABORATORIJSKA VJEŽBA

- 1. UTJECAJ UNEŠENE KONCENTRACIJE NAPREZANJA,
OBLIKOM POLUKRUŽNIH ZAREZA NA ŠTAPOVIMA
PRI VLAČNOM NAPREZANJU, NA MEHANIČKO
PONAŠANJE KRHKOG I ELASTOPLASTIČNOG
MATERIJALA**
- 2. MJERENJE MODULA TORZIJE**
- 3. PRINCIP SUPERPOZICIJE**

KONCENTRACIJE NAPREZANJA, IZAZVANE POLUKRUŽNIM ZAREZIMA, U ŠTAPOVIMA PRILIKOM RAZVLAČENJA

- štap konstantnog poprečnog presjeka

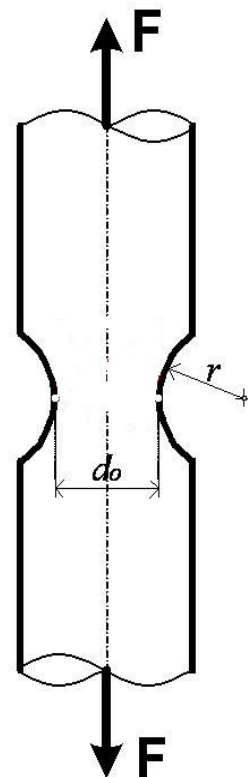
Jednoliko raspoređeno naprezanje
po površini poprečnog presjeka



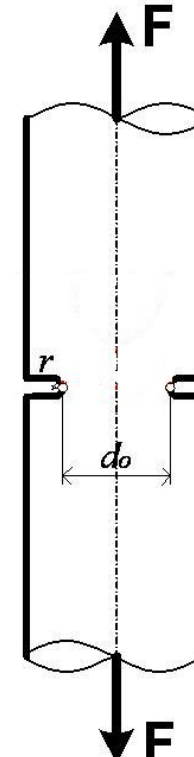
-štapovi s oslabljenim presjecima polukružnog zareza

Očekuje se nejednoliko raspoređeno
naprezanje po površini poprečnog presjeka

sa blagim zarezom



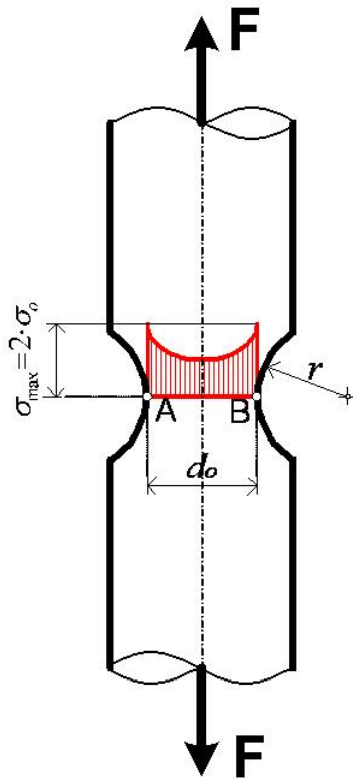
sa oštrim zarezom



Polukružnim zarezivanjem štapa, odnosno smanjivanjem presjeka, javlja se na kružnici smanjenog presjeka u točkama A i B, koncentracija naprezanja, ovisna o veličini radijusa zareza r ("oštrini" zareza).

Naprezanja na kružnici smanjenog presjeka, na tjemenima A i B zareza, mogu biti i nekoliko puta veća od prosječnog (nominalnog) naprezanja u sredini presjeka.

- štap sa **blagim** zarezom

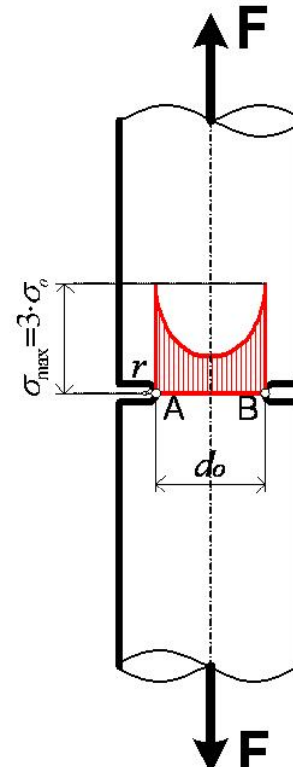


Kod prikazanog zareza ("blagi" zarez, r je $\sim 20\text{mm}$) faktor koncentracije naprezanja α_k je približno:

$$\alpha_k \approx 2,0$$

$$\sigma_{\max} = \alpha_k \cdot \sigma_o$$

- štap sa **oštrim** zarezom

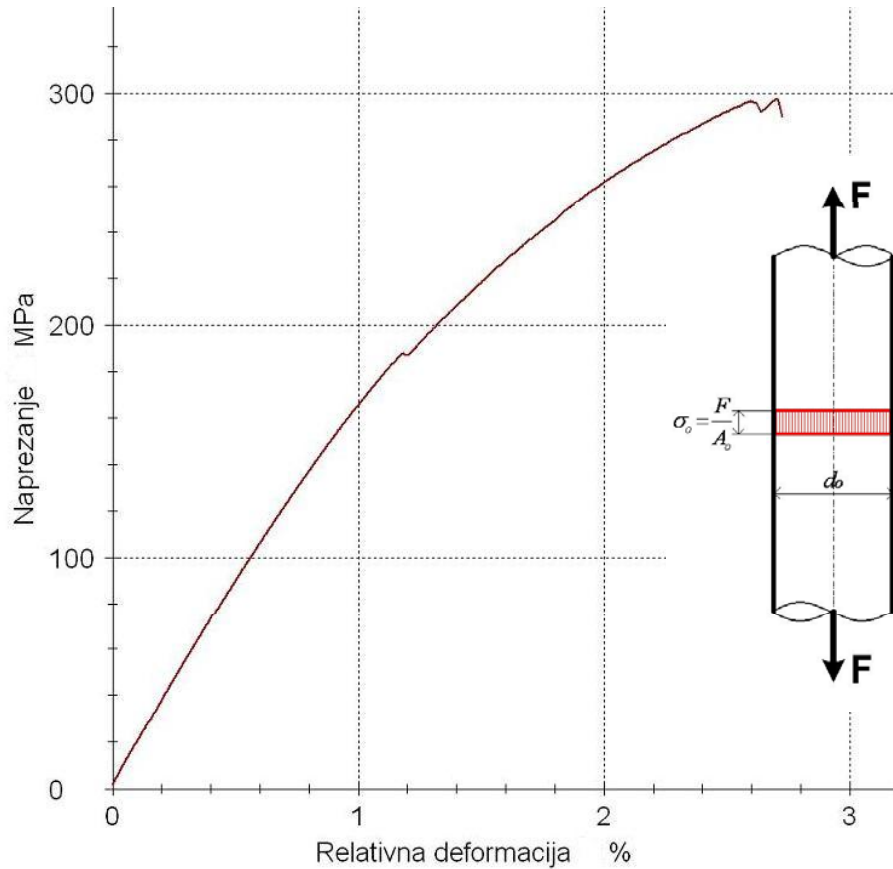


Kod "oštrog" zareza kad je $r \sim 1\text{mm}$, javlja se veća koncentracija naprezanja u točkama A i B

$$\alpha_k \approx 3,0$$

$$\sigma_{\max} = \alpha_k \cdot \sigma_o$$

Mehanizam rastezanja krhkih materijala –uzorak je štap konstantnog presjeka (bez zareza)



Krhki materijali nemaju plastične sposobnosti deformiranja prije loma.

Povećanjem naprezanja deformacije rastu linearno do loma. Nema pojave plastičnih deformacija (**beton, kamen, staklo, lijevano željezo, keramika, drvo** itd.).

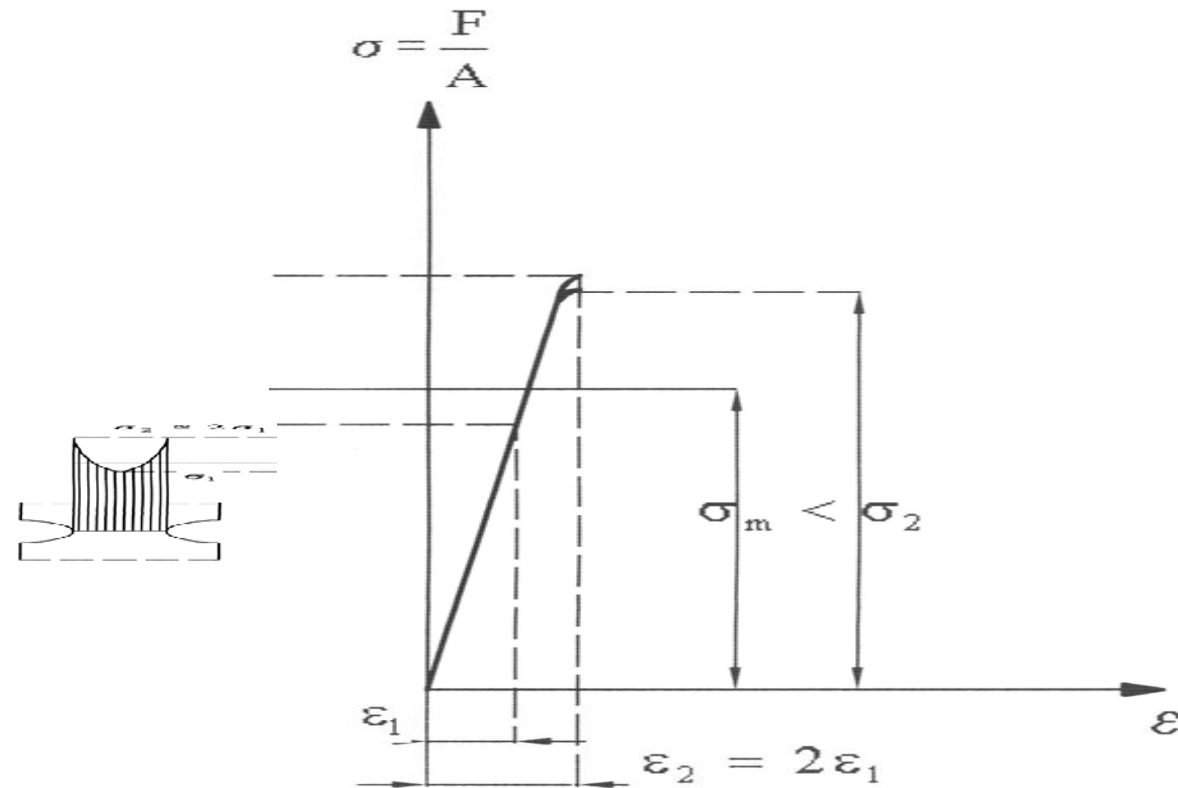
Krhki materijali se, zbog toga što se "lome bez najave", ubrajaju u takozvane "nepouzdane", pa tu činjenicu treba uvažavati pri dimenzioniranju konstrukcija, koristeći veći faktor sigurnosti.



Mehanizam rastezanja krhkih materijala –uzorci su štapovi **oslabljenog presjeka**

Kod krhkih materijala porastom sile razvlačenja \mathbf{F} , formirana raspodjela naprezanja na oslabljenom presjeku štapa zbog unešene početne koncentracije naprezanja oblikom zareza, **zadržava** se do sloma (α_k je konstantan)

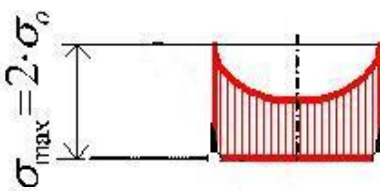
Kad maksimalno naprezanje (na rubu presjeka) dosegne čvrstoću materijala, dolazi do sloma.



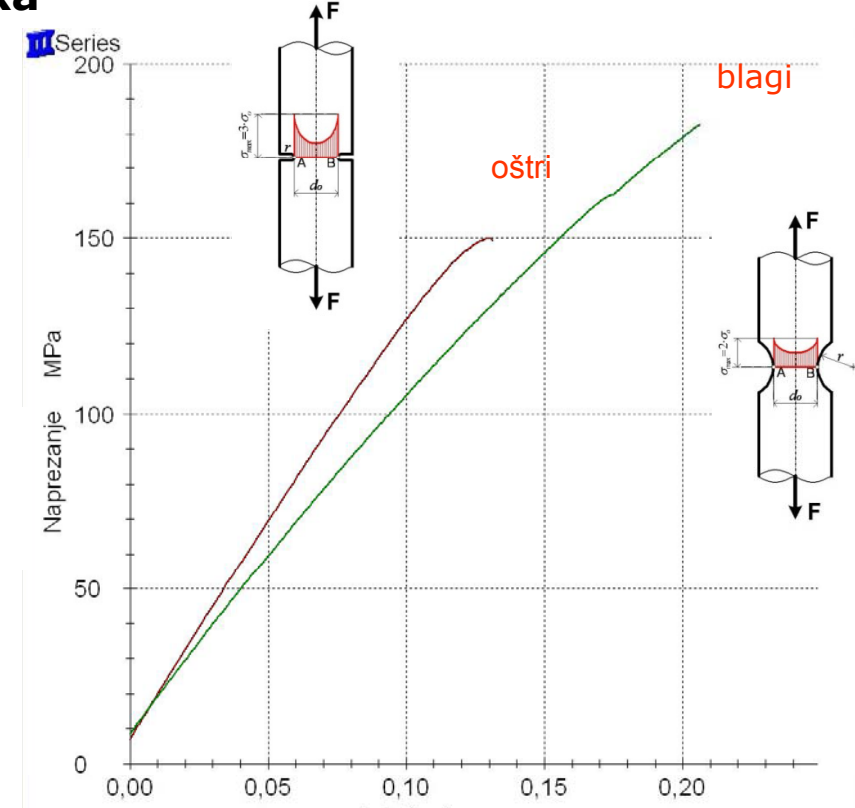
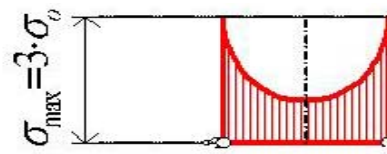


Mehanizam rastezanja krhkih materijala –uzorci su štapovi oslabljenog presjeka

blagi zarez



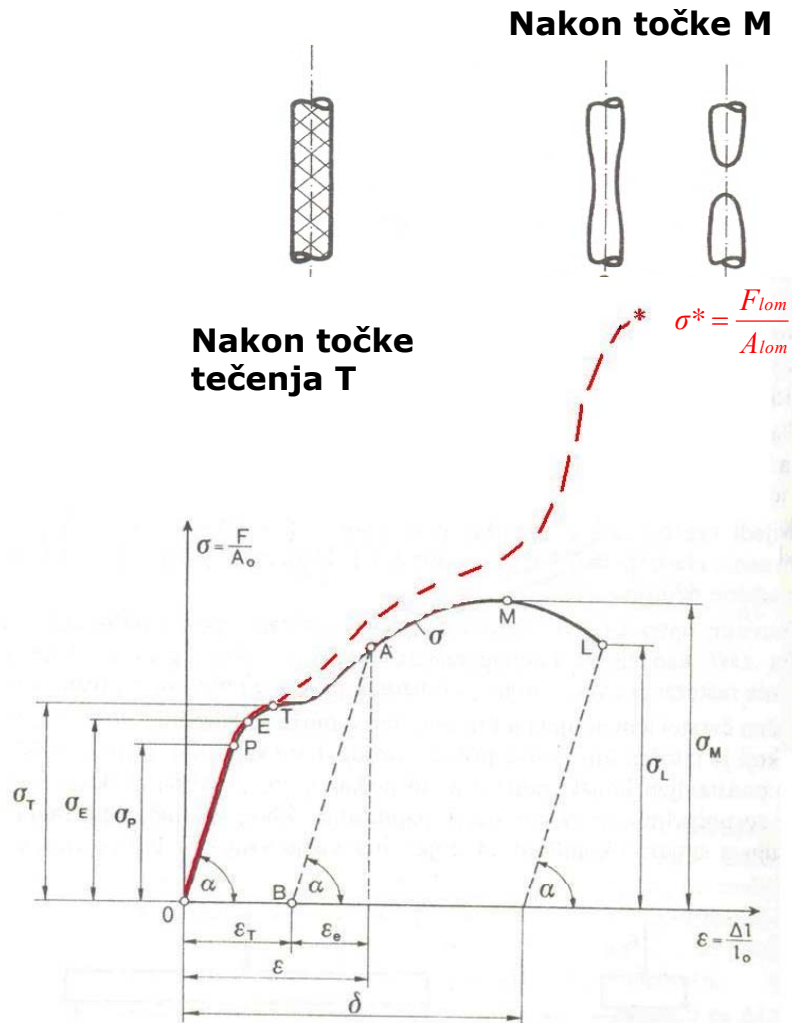
oštari zarez



Blagi zarez na oslabljenom presjeku ima manje koncentracije naprezanja od oštrog zareza, pa će i izmjerena sila loma, kojoj odgovara naprezanje σ_o , na blagom zarezu biti veća od one koja se mjeri na oštom zarezu.

Kod krhkih materijala, veličina unešene koncentracije naprezanja, oblikom zareza, direktno utječe na čvrstoću oslabljenog presjeka štapa

Mehanizam rastezanja elastoplastičnih materijala (mekani čelik) -uzorak je štap konstantnog presjeka (vježba 1.)

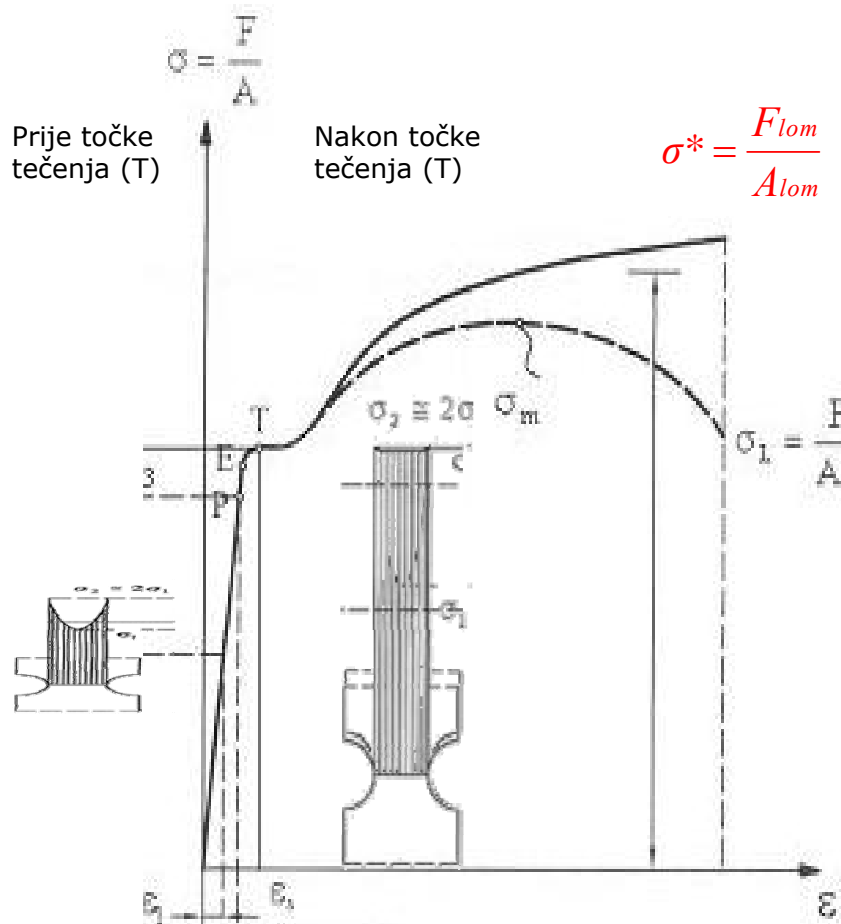


Materijali sa izraženim plastičnim karakteristikama, imaju sposobnost da prije sloma pretrpe znatne plastične deformacije (mekani čelik, metali općenito, polimeri itd.).

Karakteristično je da tijekom rastezanja, nakon točke tečenja (**T**), naprezanje stane, dolazi do tečenja materijala, štapu se po čitavoj duljini smanjuje presjek, nakon toga polako očvršćava i kad postigne maksimalno naprezanje (**M** = F_{max}) dolazi do naglog lokalnog povećanja naprezanja na jednom presjeku štapa, gdje se formira "grlo" (naglo smanjenje presjeka ili lokalna kontrakcija poprečnog presjeka).

Na tom mjestu, kad kontrakcija poprečnog presjeka dosegne graničnu vrijednost, nastaje lom (**L**).

Mehanizam rastezanja elastoplastičnih materijala (mekani čelik) -uzorci su štapovi oslabljenog presjeka

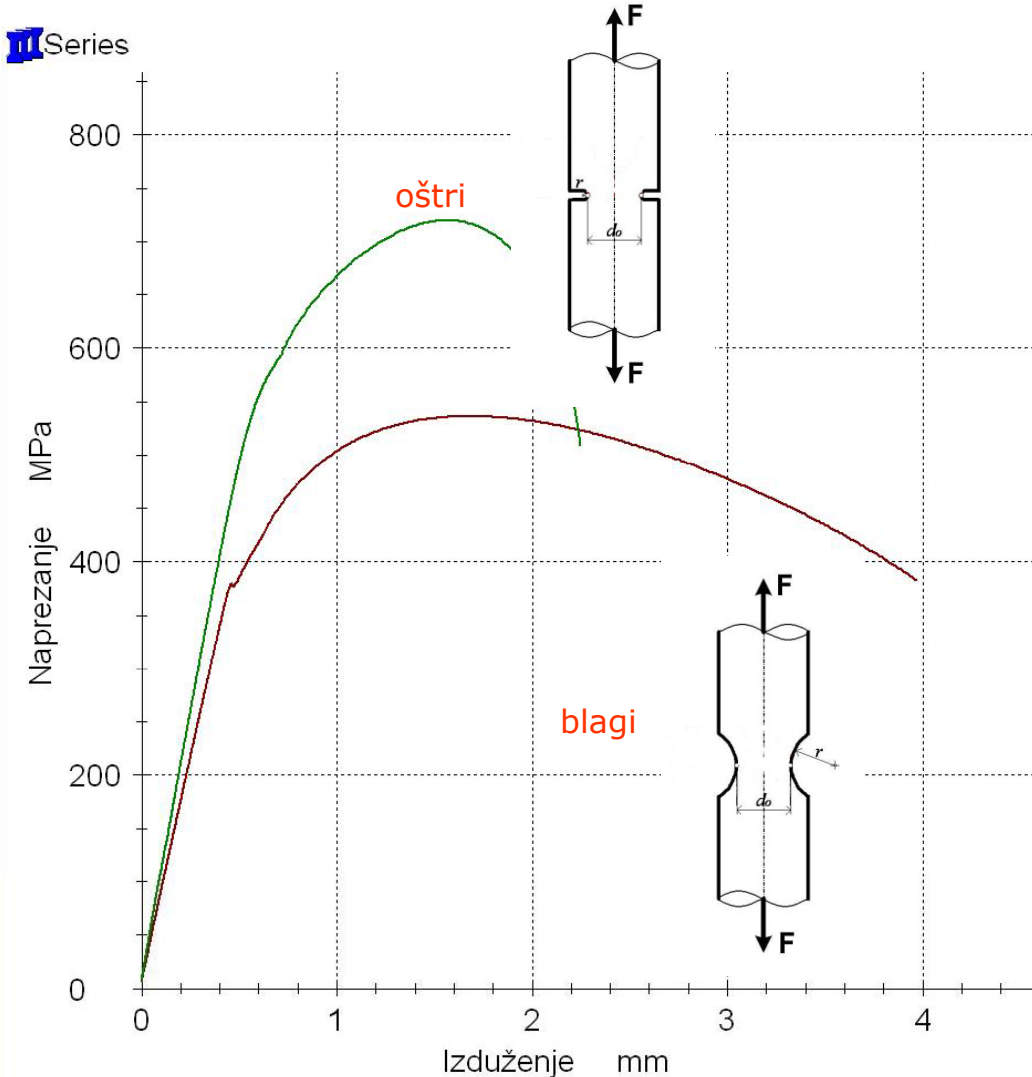


Za naprezanja ispod granice tečenja oblik plohe rasporeda naprezanja po presjeku se **ne mjenja** (α_k je konstantan kao kod krhkih materijala)

Kad maksimalna naprezanja na obodu presjeka dosegnu granicu tečenja dolazi do tečenja materijala i to tako da se porastom deformacije, ploha rasporeda naprezanja po presjeku, izjednačava "popunjava" do opterećenja na obodu presjeka, unešeno naprezanje nestaje (α_k se smanjuje do 1).

Kada se u svim točkama oslabljenog poprečnog presjeka naprezanja izjednače, dosegnu granicu tečenja (jednolika raspodjela naprezanja), dolazi do laganog očvršćavanja, naprezanje doseže maksimum. Nakon toga formira se grlo u granicama, koje oslabljeni presjek oblikom više ili manje omogućava.

Mehanizam rastezanja elastoplastičnog materijala (mekani čelik) -uzorci su štapovi **oslabljenog** presjeka



Zarez kod elastoplastičnih materijala, nakon što naprezanje dosegne točku tečenja, djeluje na taj način da svojim oblikom omogućava više ili manje kontrakciju poprečnog presjeka odnosno formiranje grla. Ako je **zarez blagi** (veliki radius), postojat će **veća mogućnost** za kontrakciju poprečnog presjeka i **za stvaranje grla**, nego u slučaju kad se radi o oštrom zarezu. Kad je u pitanju **oštar zarez**, njegov oblik dozvoljava vrlo male poprečne deformacije, praktički **nema** kontrakcije poprečnog presjeka i **pojave grla**, pa je maksimalno izmjereno naprezanje skoro jednako realnom naprezanju.

Mehanizam rastezanja oslabljenih uzoraka izrađenih od elastoplastičnog materijala

U prethodnim razmatranjima je pokazano da kod elastoplastičnih materijala nakon što nivo naprezanja dosegne točku tečenja, unešena koncentracija naprezanja oblikom oslabljenog presjeka se gubi (anulira).*

Zato kod elastoplastičnih materijala oblik oslabljenog presjeka utječe na mehanički odgovor materijala tek nakon točke tečenja (**T**) kroz mogućnost pojave grla na tom oslabljenom presjeku i na taj način mijenja veličinu naprezanja i konačnu plastičnu deformaciju pri lomu. Time se mijenja koeficijent žilavosti Ψ i ukupna energija potrebna za kidanje uzorka (W).

Kod štapa sa "blažim" zarezom dolazi do veće kontrakcije poprečnog presjeka i uzorak se lomi pri većoj poprečnoj deformaciji i maksimalna izmjerena sila je manja (faktor Ψ je veći, uzorak je žilaviji, rad poteban za kidanje W_{lom} je veći) nego na uzorku sa "oštijim" zarezom (faktor Ψ je manji, uzorak je krhkiji, izmjerena maksimalna sila je veća, W_{lom} je manji i ukupna deformacija pri slomu je manja).

Kod elastoplastičnih materijala, koncentracija naprezanja unešena oblikom smanjenog presjeka štapa ne utječe na realnu čvrstoću. Zarez oblikom mjenja plastično ponašanje na način da mijenja maksimalnu izmjerenu silu, odnosno maksimalno naprezanje (F_{max}/A_0 , čvrstoća materijala), a zatim žilavost i rad potreban za kidanje.

*Ova aproksimacija vrijedi samo za statička opterećenja, kad je prirast sile ili deformacije u vremenu relativno mali, dok u dinamičkim uvjetima naprezanja ovakova aproksimacija ne vrijedi



Ispitivanja u laboratoriju

Ispitat će se tri uzorka krhkog materijala (**lijevano željezo**) i tri uzorka elastoplastičnog materijala (**mekani čelik**) i izmjeriti sljedeće parametre:

- | | |
|---------------|--|
| d_0 | – početni promjer poprečnog presjeka |
| A_0 | – početna površina poprečnog presjeka |
| d_L | – promjer poprečnog presjeka u trenutku loma |
| A_L | – površina poprečnog presjeka u trenutku loma |
| ψ | – kontrakcija poprečnog presjeka |
| W_{lom} | – rad utrošen na kidanje uzorka |
| F_{max} | – maksimalna sila |
| F_L | – sila u trenutku loma |
| σ_{om} | – granično maksimalno naprezanje (čvrstoća materijala) |
| σ_{OL} | – granično naprezanje u trenutku loma |
| σ_L | – stvarno naprezanje u trenutku loma |

$$\psi = \frac{A_0 - A_L}{A_0} \cdot 100(\%)$$

$$W_{lom} = \int_0^{\Delta l} F \cdot dl$$

$$\sigma_{om} = \frac{F_{max}}{A_0}$$

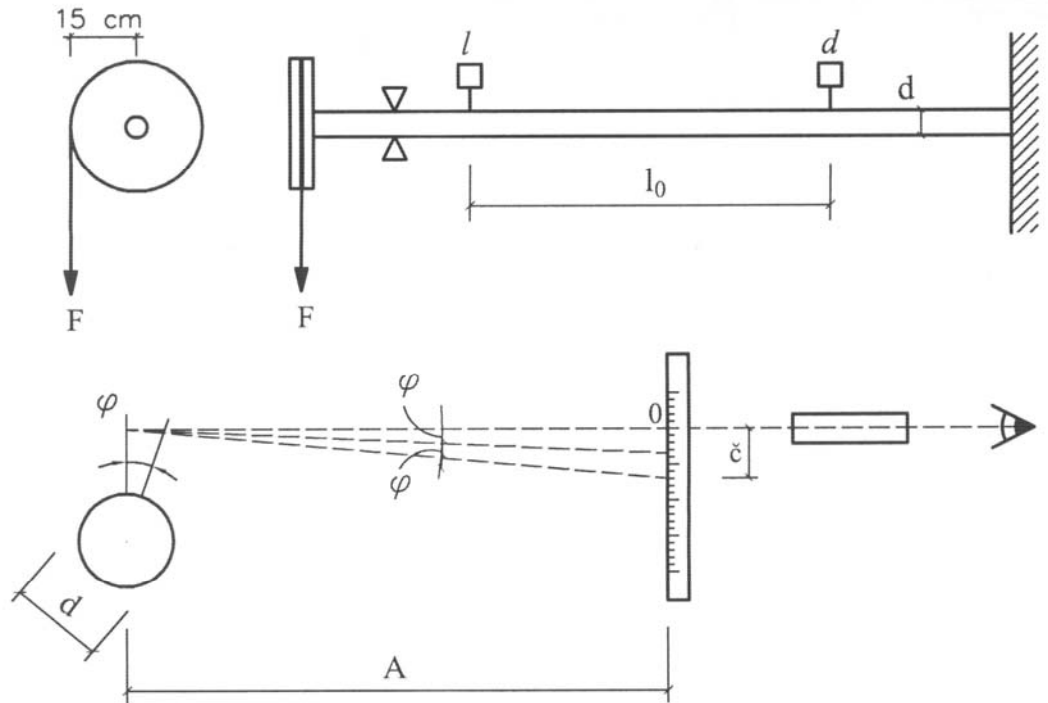
$$\sigma_{OL} = \frac{F_L}{A_0}$$

$$\sigma_L = \frac{F_L}{A_L}$$



TORZIJA

Martens-ov zrcalni aparat



Materijal: ČELIK

Promjer štapa: $d = 10 \text{ mm}$

Mjerna duljina: $l_0 = 100 \text{ mm}$

Udaljenost skale od zrcala: $A = 100 \text{ cm}$

$$\operatorname{tg} \varphi = \frac{\check{C}}{2A}, \quad \operatorname{tg} \varphi \approx \varphi$$

$$\varphi_{l_o} = \varphi_l - \varphi_d = \frac{\check{C}_l}{2A} - \frac{\check{C}_d}{2A}$$

$$\varphi_{l_o} = \frac{\check{C}_l - \check{C}_d}{2A} = \frac{a}{2A}$$

$$\frac{M_t \cdot l_0}{I_p} = G \cdot \varphi \Rightarrow G = \frac{M_t \cdot l_o}{I_p \cdot \varphi}$$

Kontrola :

$$G = \frac{E}{2 \cdot (1 + \nu)} = \frac{2,1 \cdot 10^5}{2 \cdot (1 + 0,30)} = 0,81 \cdot 10^5 \text{ MPa}$$

$$M_t = 4500 \text{ Nmm}$$

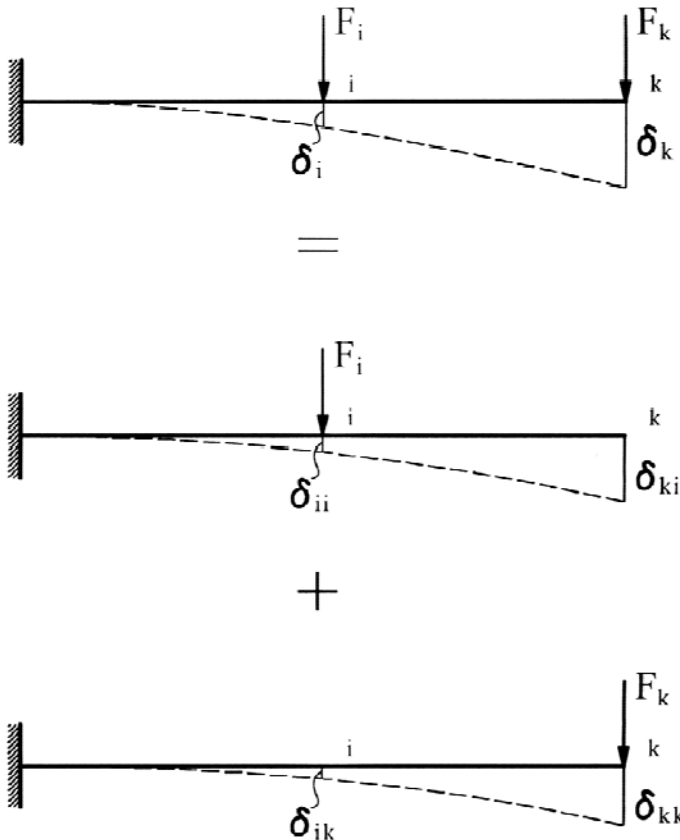
$$I_p = \frac{\pi \cdot d^4}{32} = 981,75 \text{ mm}^4$$

Maksimalno posmično naprezanje za M_t i I_p :

$$\tau_{\max} = \frac{M_t}{I_p} \cdot \frac{d}{2} = \frac{4500}{981,75} \cdot \frac{10}{2} = 22,92 \text{ MPa}$$



PRINCIP SUPERPOZICIJE



Stanje pomaka (naprezanja i deformacija) izazvano složenim stanjem opterećenja jednako je zbroju stanja pomaka (naprezanja i deformacija) izazvanih izdvojenim pojedinačnim opterećenjima.

$$\delta_k = \delta_{ki} + \delta_{kk}$$

$$\delta_i = \delta_{ii} + \delta_{ik}$$